

# Методы решения задачи идентификации источников в модели сложного теплообмена

Глеб Гренкин

(Владивостокский государственный университет)

Конференция «Теория и численные методы решения обратных и некорректных задач»  
(Новосибирск, 2023)

Сложный теплообмен – это процесс передачи тепла за счет излучения  
Рассматривается установившийся процесс, описываемый физическими полями:

$T(x)$  – температура,  $I(x, \omega)$  – энергия излучения в направлении  $\omega$

$\theta(x)$  – нормированная температура,  $\varphi(x)$  – нормированная и усредненная интенсивность излучения

В уравнении теплопроводности возникает член, отвечающий за поглощение и испускание излучения средой

*В области:*

$$-a\Delta\theta + b\kappa_a(\theta^4 - \varphi) = f$$

$$-\alpha\Delta\varphi + \kappa_a(\varphi - \theta^4) = 0$$

*На границе:*

$$a\frac{\partial\theta}{\partial n} + \beta(\theta - \theta_b) = 0$$

$$\alpha\frac{\partial\varphi}{\partial n} + \gamma(\varphi - \theta_b^4) = 0$$

## Обратная задача

В области  $\Omega$  действует несколько источников, мощности которых  $q_i$  мы не знаем, но знаем пространственную плотность  $f_i$

$$\begin{aligned} -a\Delta\theta + b\kappa_a(\theta^4 - \varphi) &= \sum_{i=1}^m q_i f_i \\ -\alpha\Delta\varphi + \kappa_a(\varphi - \theta^4) &= 0 \end{aligned}$$

Для нахождения неизвестных коэффициентов  $q_i$  задается интегральное переопределение:

$$\int_{\Omega} f_j(x)\theta(x) dx = r_j, \quad j = 1..m$$

Похожая обратная задача сформулирована для модели переноса кислорода в тканях мозга, когда требуется восстановить источник кислорода по информации о средней концентрации кислорода в крови (Kovtanyuk A.E. et al., 2021)

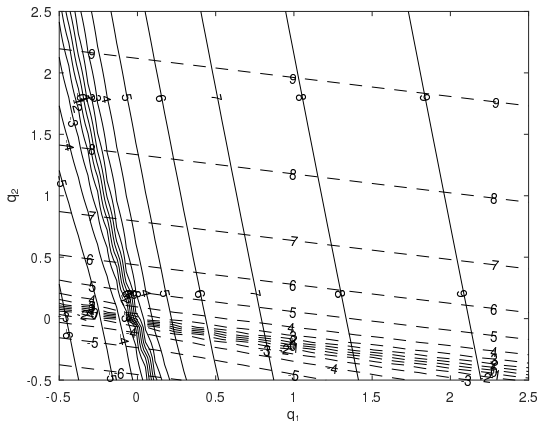
- ▶ Существует ли решение обратной задачи? — Да.  
(Chebotarev A.Yu. et al., 2018)
- ▶ Единственно ли решение обратной задачи? — Условно да (доказано при большой теплопроводности).
- ▶ Как вычислить решение? — Нелинейная алгебраическая система, но будет ли найденное решение единственным?
- ▶ Есть ли у обратной задачи интересные свойства, которые могут облегчить её решение?
- ▶ При  $f_j(x) \geq 0$  обратная задача сводится к покомпонентно монотонной системе нелинейных алгебраических уравнений — какие методы глобального поиска подойдут?

## Численный пример

Одномерная задача – теплообмен в плоском слое

Обозначим  $F_j(q) = \int_{\Omega} f_j(x)\theta[q](x) dx$

На рисунке изолинии  $F_1(q_1, q_2)$  (сплошная линия) и  $F_2(q_1, q_2)$  (пунктир)



Изолинии прямолинейные, но не равноотстоящие

- ▶ Будем решать на каждом шаге вспомогательную обратную задачу, которая определенным образом связана с исходной обратной задачей
- ▶ Определим оператор  $S$ , который по полю температуры  $\theta$  дает поле температуры  $S\theta$ , вычисленное без учета радиационных эффектов, а именно  $S\theta = \eta$ , где

$$-a\Delta\eta = \sum_{i=1}^m q_i f_i$$
$$a \frac{\partial \eta}{\partial n} + \beta(\eta - \theta_b) = 0$$

- ▶ Поставим обратную задачу для этой системы с переопределением

$$\int_{\Omega} f_j(x)\eta(x) dx = s_j, \quad j = 1..m$$

Числа  $s_j$  нам неизвестны, но они могут быть выражены через связь между  $\eta$  и  $\theta$

1. Примем начальные значения  $s_j$  равными  $r_j$
2. На каждом шаге решим вспомогательную (линейную) обратную задачу, находим коэффициенты  $q_i$
3. Решаем (нелинейную) прямую задачу с найденными коэффициентами, находим поле температуры  $\theta(x)$
4. Корректируем  $s_j$  на величину  $r_j - \int_{\Omega} f_j(x) \theta(x) dx$
5. Переходим к шагу 2

На рассмотренном численном примере алгоритм сошелся, но в 10 раз медленнее, чем метод Ньютона для нелинейной алгебраической системы (реализация в среде Octave методом конечных разностей)

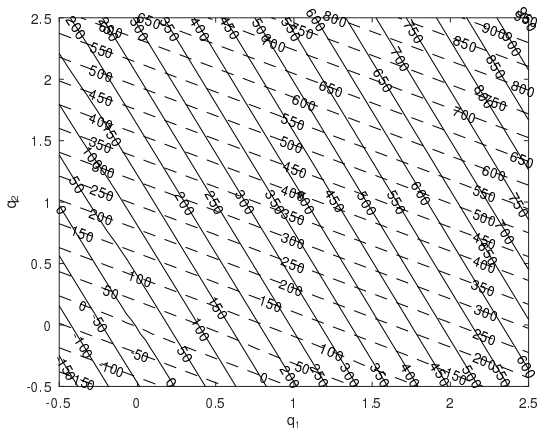
$\eta$  складывается из  $\theta$  (температуры),  $\psi$  (теплового эквивалента лучистой энергии, который зависит от поля  $\theta^4$ ) и константы, которая определяется излучением от границы

$$\text{Поэтому } \int_{\Omega} f_j(x)\eta(x) dx = \int_{\Omega} f_j(x)\theta(x) dx + \int_{\Omega} f_j(x)\psi(x) dx + C_j$$

Поскольку вспомогательная обратная задача имеет единственное решение, то, зная величину второго слагаемого, мы однозначно восстановим мощности источников  $q_i$



## График второго слагаемого



Второе слагаемое изменяется значительно быстрее первого  
Поскольку сумма первого (предыдущий график) и второго слагаемого линейно зависит от  $q$ , то второе слагаемое почти линейно

1. Угол, образованный изолиниями  $\int_{\Omega} f_j(x)\theta(x) dx$ , должен содержаться в угле, образованном изолиниями  $\int_{\Omega} f_j(x)\eta(x) dx$ , чтобы при увеличении  $\int_{\Omega} f_j(x)\theta(x) dx$  увеличивались  $\int_{\Omega} f_j(x)\eta(x) dx$
2. Расстояние между изолиниями  $\int_{\Omega} f_j(x)\eta(x) dx$  не должно превосходить расстояние между изолиниями  $\int_{\Omega} f_j(x)\theta(x) dx$

## Идея доказательства однозначной разрешимости

1. Пусть  $f \geq 0$  п.в. в  $\Omega$ . Тогда решение  $u, z$  краевой задачи
$$-\alpha\Delta z + \kappa_a z = f, \quad \alpha \frac{\partial z}{\partial n} + \gamma z = 0, \quad -a\Delta u = f - \kappa_a z, \quad a \frac{\partial u}{\partial n} + \beta u = 0$$
 неотрицательно (по крайней мере, при условии  $\beta/a \leq \gamma/\alpha$ ).
2. Из 1 вытекает, что  $\frac{\partial^2 F_j(q)}{\partial q_i \partial q_k} \leq 0$ , откуда следует монотонность и ограниченность итерационной последовательности, поскольку значение теплового эквивалента лучистой энергии, предсказываемое алгоритмом на каждом шаге, не превзойдет реального.
3. Доказывается по индукции, что величина теплового эквивалента лучистой энергии в  $j$ -м источнике на каждой итерации не превосходит такой же величины на любом решении обратной задачи. Отсюда следует, что эти величины (при всех  $j$ ) на предельном решении не превосходят таких же величин на любом другом решении. Это означает, что суммарная энергия в каждом источнике увеличилась, но тогда температура каждого источника не может быть такой же — она тоже должна где-то увеличиться, значит, предельное решение обратной задачи равно любому другому решению.

- ▶ Предполагается, что уменьшение тепловой энергии во всех источниках приводит к уменьшению их суммарной энергии — в этом случае алгоритм сходится
- ▶ Может ли это нарушиться при высоком отражении излучения от стенок и высокой теплоотдаче?
- ▶ Возможно введение параметра  $\lambda > 0$  (релаксации или ускорения):

$$s_j := s_j + \lambda \left( r_j - \int_{\Omega} f_j(x) \theta(x) dx \right)$$

- ▶ Из допущения вытекает, что если алгоритм обеспечивает условие  $\int_{\Omega} f_j(x) \theta(x) dx \leq r_j$ , то алгоритм не выйдет за пределы области, в которой суммарная энергия не превосходит суммарной энергии на любом решении
- ▶ Значит, алгоритм сойдется к решению обратной задачи, которое будет либо единственным, либо имеющим минимальную суммарную энергию среди всех решений

- ▶ На рассмотренных численных примерах наблюдается закономерность: линии уровня наблюдений практически прямолинейны, что само по себе (будучи теоретически обоснованным) гарантирует единственность решения обратной задачи
- ▶ Предложенный алгоритм сходится, если выполняются определенные условия, гарантирующие монотонность и ограниченность приближений
- ▶ В дальнейшем анализ данного алгоритма может помочь теоретически обосновать однозначную разрешимость обратной задачи